

A study of the effect of thickness and Gamma Ray on the optical properties of Polystyrene – Kaolinite Composite

دراسة تأثير السمك وأشعة كاما على الخواص البصرية لمتراتكب بولي ستايرين – كاولين

وسن كامل حسن

جامعة كربلاء / كلية العلوم / قسم الفيزياء

الخلاصة :-

تم في هذا البحث دراسة تأثير السمك على الخواص البصرية لمتراتكب بولي ستايرين – كاولين بسمك (0.86, 0.92, 1.11) mm المحضرة بإدخال مادة مالنة (الكاولين) إلى المادة الأساسية (بولي ستايرين) بعد حرقها بدرجة (100°C) وتجفيفها وإعادة طحنها وانتقاء حجم حبيبي ($D < 100 \mu\text{m}$) مع استخدام مادة رابطة هي بولي فاينيل الكلور PVC ومن ثم تمت إضافتها للمادة الأساسية البوليمرية المذابة في البنزين بنسب معينة ودرس تأثير سمك العينات قبل وبعد تشعيتها بأشعة كاما المنبعثة من مصدر Co^{60} ذات معدل طاقة (2.5 Mev) وبجرعة إشعاعية (250 KGy) على الخواص البصرية للمادة المتراتكة حيث تزداد الامتصاصية وتقل النفاذية كدالة للطول الموجي بزيادة السمك بالإضافة إلى زيادة معامل الامتصاص مع نقصان السمك . وتضمنت الحسابات البصرية أيضاً حساب الثوابt البصرية كمعامل الخمود ومعامل الانكسار والانعكاسية كما حسب الجزء الحقيقي والخيالي لثابت العزل الكهربائي قبل التشيع وبعده .

Abstract :

A study of the effect of thickness on the optical properties of Polystyrene – Kaolinite Composite of thickness (0.86,0.92,1.11) mm prepared by introduction of filler material (kaolinite) to matrix material (polystyrene) after toasting to powder with temperature degree(100° C)and drying and choose partical size ($D < 100 \mu\text{m}$) and have been used also binder material poly vinyl chloride (PVC) and had been added to dissolved polymer matrix material in benzen with the state ratios and study of effect of thickness for samples after and befor irradiation γ - Ray irradiation from Co^{60} of average energy (2.5 Mev) with radiation dose of (250 KGy) on optical properties for composite material and absorption increase but the transmission decrease as a data of waving length with increase the thickness, as well as it is found that the absorption coefficient of these samples increase with decrease thickness and also calculation of the optical constant carried out such as extinct coefficient , refractive index, reflectance ,real and imaginary part of dielectric constant after and befor irradiation.

المقدمة :-

نظرأً للتطورات في التطبيقات الصناعية التي حصلت في السنوات الأخيرة والحاجة الى استخدام المواد المتراتكة بشكل عام والمتراتكب البوليمرية بشكل خاص في مختلف التطبيقات الصناعية المتقدمة . تناول هذا البحث دراسة تأثير السمك والتشيع على الخواص البصرية لمتراتكب بولي ستايرين- كاولين .

ان المواد المتراتكة هي عبارة عن بناء مكون من مادتين او اكثر ذات مواصفات مختلفة ترتبط مع بعضها بطريقة معينة لتعطي التراكيب المرغوب فيها وتكون ذات خصائص افضل من خصائص المواد الداخلة في تكونها فيما لو استخدمت بشكل منفرد ، وتكون مواد التدعيم بشكل دقائق او قضبان او الياف او صفائح ...الخ ، وهي بذلك تجمع الخصائص الجيدة من مختلف المواد الداخله في تركيبها علاوة على التخلص من العيوب الموجودة فيها لتكون اكثراً ملائمة للتطبيقات الصناعية . ذلك يمكن القول ان المادة المتراتكة تتكون من طورين هما : الطور الاول ويشمل المادة الأساسية (Matrix Material) والطور الثاني يشمل مواد التقوية (Reinforced Material) ، ويرتبط هذان الطوران ببعضهما عن طريق سطح رابط يدعى السطح البيني (Interface) وقد تختلف المواد المتراتكة من طور اساسي واحد او اكثراً ومن مادة تقوية واحدة او اكثراً للحصول على العديد من المتراتكبات بترتبط مواد التقوية مع مواد الاساس وهنا تدعى المادة الناتجة بالمواد المتراتكة الهجينه (Hybrid Composite Material) ^(١,٢) .

الجزء النظري :-

ازداد اهتمام الباحثين في دراسة الخواص الفيزيائية للمتراتكبات ومنها ذات الاساس البوليمرى ولقد اجريت دراسات عديدة للخواص البصرية للمتراتكبات الا ان دراسة تأثير التشيع على خواص هذه النماذج قليلة . ان الهدف من البحث دراسة الخواص البصرية للمتراتكب بتاثير السمك قبل وبعد التشيع باشعة كاما . ان تفاعل اشعة كاما يؤدي الى ظهور عيوب نقطية في الشبكة

البلورية للمادة شبه الموصلة حيث ان الية التفاعل تعتمد على طاقة الفوتونات الساقطة (hw) على المادة . شمل هذا البحث دراسة تأثير تفاعل اشعة كاما مع المادة والتي تتم من التأثير الكهروضوئي ، كوميتن ، توليد زوج (الكترون - بوزترون) بمعنى ان الانقال من التأثير الكهروضوئي الى تأثير كوميتن يكون مقرضاً بزيادة طاقة الفوتونات الساقطة والتي تتفاعل مع الكترونات وسط المادة الذي تمر خلاله وكذلك الحال بالنسبة لتأثير خلق زوج الكترون بوزترون ^(٣) .

ان تعريض المترابكبات البوليمرية لأشعاع ذي طاقة عالية (أشعة كاما) يؤدي الى حدوث عمليات نابن وتبيح للجزيئات ، أي الحصول على جزيئات متبيحة وابونات ومن ثم حصول تكسر في الاواصر الكيميائية مما يؤدي الى انتاج الجذور الحرة ، وان عدد الجذور الناتجة يتناسب مع جرعة الاشعاع وان هذه الجذور ربما تتفاعل وتغير من التركيب الكيميائي للمادة وكذلك تغير من خواصه الفيزيائية .

يتخلص تأثير الاشعاع على المترابكبات البوليمرية بحصول عملية التهدم بقص السلسلة البوليمرية (Chain Scission Degradation) وتعد هذه العمليات الناتج الرئيس للتشريع وهي ذات اهمية كبيرة لان صفات المترابك البوليمرى تعتمد الى حد كبير على طول السلسلة البوليمرية .

والنوع الثاني من تأثيرات الاشعاع هي عمليات التشابك (Cross-Linking) اما النوع الثالث فهي عمليات تحرر الغازات وابنائتها (Gas Evolution) من تلك المواد . وقد يكون الترابط المستعرض المحاث شعاعياً مصحوباً في بعض البوليمرات بتكون مواد غير مشبعة مثل الترانزسفيلين وتحرر غاز الهيدروجين كما ان التشريع بوجود الهواء يتسبب بحصول تاكسد سطحي وقد يتفاعل الهيدروجين الناتج عن كل من التهدم والترابط المستعرض مع الاوكسيد السطحي منتجًا انواع من البيروكسيدات التي قد تتفاك في نهاية المطاف في عملية تبلمر مشترك ترقعي ^(٤،٥) .

الجانب العملي :-

المواد المستعملة :

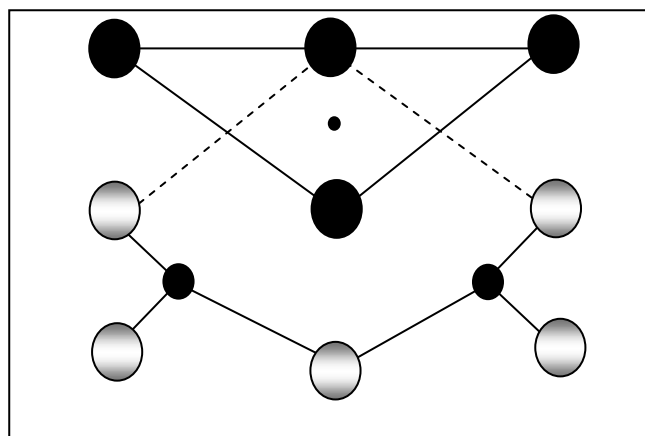
١- البولي ستايرين :

وهو من البوليمرات الزجاجية المطاوعة للحرارة ذو درجة انتقال زجاجي (C[°]80) ودرجة انصهاره البلوري (C[°]240) وكتافة تتراوح بين gm/cm³ 1.04-1.09 (1) ويصغر لونه تحت تأثير ضوء الشمس وهو يقاوم فعل الكثير من المواد الكيميائية كالحوماصن والقواعد ويدوّب في العديد من المنيطيات . إن مادة البولي ستايرين عبارة عن مادة لدنـه حراريـاً و معـامل انـكسـارـها يـساـوي 1.6 يجعل منه مادة لـدـنـه مـفـيـدةـ فيـ صـنـاعـةـ العـدـسـاتـ ولـهـ خـواـصـ عـدـيـدةـ مـرـغـوبـ فـيـهاـ تكونـ هـذـهـ الـبـولـيمـرـاتـ شـفـافـةـ سـهـلـةـ اللـتوـينـ وـالتـصـنـيعـ التـكـيـفـ وـتـمـتـالـكـ خـواـصـ حـارـارـيـةـ وـمـيكـانـيـكـةـ جـيـدةـ نوعـاـ"ـ ماـ درـجـةـ ليـونـتـهاـ اـفـلـ (C[°]100)ـ وـلـهـ الـكـثـيرـ مـنـ الـاستـخـدـامـاتـ الـبـلاـسـتـيـكـ كـصـنـاعـةـ الـأـغـرـاضـ الـمـنـزـلـيـةـ وـصـنـاعـةـ الـبـلاـسـتـيـكـ الـمـسـامـيـ الـمـصـلـدـ ،ـ عـلـمـاـ انـ الـمـنـيـبـ الـمـسـتـعـمـلـ هوـ الـبـنـزـينـ (Benzen)ـ بـنـسـبـ مـعـيـنةـ وـبـرـجـةـ حـرـارـةـ C[°](70-80)^(٦)ـ .

٢- الكاؤلين :

وهي المادة المالة ويرمز لها (Al₂O₃.2SiO₂.2H₂O) وهو سليكات الالمنيوم المائية وهو مسحوق ابيض تم اختياره بالاعتماد على الخواص العامة من خفة الوزن وخلوه من الشوائب اذ يمتاز بنعومة حبيباته وشكله الصفائحي الذي يساعد حركة بعضها فوق بعض وله درجة انصهار (C[°]1770) في حالته النقية وتخفض الى درجة انصهار (C[°]1545) في حالة وجود شوائب مصهرة ، يمتاز الكاؤلين من بين المعادن الطينية بمقاومته الكيميائية ومقاومته للحرارة الناتجة من طبيعة التركيب الداخلي الذي يتكون من اتحاد او تكتيف طبقتين تعرف الاولى بطبقة السيليكا وتتكون من ذرة السليكون محاط باربع ذرات اوكسجين والثانية فتتمثل هيدروكسيد الالمنيوم ويكون الهيكل البنائي لهذه الطبقتين من ذرة الالمنيوم محاطة بست مجموعات هيدروكسيل ، ويستخدم في صناعة الاصباغ والورق والاطارات كمادة مالة . والجدول يوضح التحاليل الكيميائي لهذه المادة مع الرسم التخطيطي ^(٧) .

جدول (١) التحليل الكيميائي لكاوولين دويخلة ^(٧)			
نوع الاوكسيد	النسبة المئوية %	نوع الاوكسيد	النسبة المئوية %
SiO ₂	52.35	MgO	1.11
Al ₂ O ₃	34.02	SO ₃	1.45
FeO ₃	1.31	Na ₂ O	-
TiO ₃	0.12	K ₂ O	-
CaO	1.2	L.O.I.	12.54



شكل (١)
مخطط لتركيب طبقات الكاوولين ^(٧)

Hydroxyl
Silicon
Oxygen
Aluminum

٣- بولي فاينيل كلورايد :

وهو من بوليمرات الفاينيل التي تنتج من المشتقات البترولية وهو من اللادائن الحرارية ودرجة انتقاله الزجاجي (82 °C) وهو من المواد القطبية (أي ان جزيئاته دائمة القطبية) اذ ان احلال ذرة الكلور محل ذرة الهيدروجين (الاخف) على جانب واحد من السلسلة الرئيسية لبوليمر الايثيلين يعمل على جعل ذلك الجانب قطباً سالباً لان الشحنة الموجبة التي تدخل في التفاعل مع سطح المعدن الطيني لتكون طين معدل modified clay بعملية امتزاز المواد الطينية وهو من البوليمرات الواسعة الاستعمال في العديد من المنتجات الصناعية اهمها تغليف الاسلاك الكهربائية وصناعة الانابيب البلاستيكية والسقوف المستعملة في البيوت الزجاجية كما يستعمل في صناعة بعض الحاجات المنزلية ^(٨).

تحضير العينات :

١- تهيئة الاطيان : تم استخدام مادة الكاوولين كمادة مالئة حيث حمصت بدرجة حرارة (100 °C) لمدة (6 hr) ومن ثم جففت واعيد طحنها باستعمال طاحونة الكرات (Ball Milling) ذات كرات الالومينا النقيّة نوع (CROSCHOP) ألمانية الصنع واستمررت عملية الطحن لمدة (3 hr) للحصول على درجة النعومة المطلوبة ومن ثم اجريت عملية النخل Sieving process وذلك لاجراء التصنيف الحجمي لها وقد استخدمت منخل المانية الصنع نوع (Cro-Prazisossieb) بحجم قطر فتحته اقل من (100 μm) مع هزار الماني نوع (Retsch) .

٢- تحضير محلول PVC : البوليمر المستعمل في هذه الدراسة هو من النوع التجاري (Commercial) المتوفر في الاسواق المحلية على شكل حبيبات (granules) تمت اذابته في مذيب مناسب ، وقد استعمل مذيب سايكلو هكسانون (Cyclohexanone) رمزه الكيميائي (C₆H₁₀.CO) ذو كثافة (0.9491 g/cm³) والذي عد افضل مذيب لبوليمر PVC حيث خلطت اوزان مكافئة من البوليمر PVC والكاوولين بنسبة (1%) ، واذب البوليمر الحاوي السيراميك بمذيب السايكلو هكسانون بعد ذلك جفف وطحن ومرر عبر منخل بحجم حبيبي (100 μm) .

٣- تحضير مترافق بولي ستايرين - كاوولين : حضر البولي ستايرين بقيم محددة بعد اذابته في المذيب المناسب (استخدم مذيب البنزين في البحث) حيث تم التحضير بمزج البولي ستايرين مع المذيب عند درجة حرارة (90 °C) باستعمال خلاط نوع (Magnetic stirrer) ، ثم تضاف النسبة المطلوبة من الكاوولين المعامل حرارياً والمضاف لمادة PVC الى البولي ستايرين المذاب في البنزين ، بعدها صبت في اطباق زجاجية (Petry dish) وتركت في حاوية تفريغ لحين الجفاف ويجب ان تكون عناية كبيرة في عملية الصب لتجنب حصول الفقاعات الهوائية ويتراكم الفالب لكي تتم عملية تصلب النماذج لتكون عينات اختبار الخواص البصرية للمادة المترافقه .

الاجهزه المستعمله وطريقه القياس :

قيست الخواص البصرية باستخدام مطياف من نوع (UV – visible Recording Spectra Photometer) المصنوع من قبل شركة شيمادزو اليابانية ولمدى من الاطوال الموجية (nm) 1100-200) وقد سجلت جميع القياسات في درجة حرارة الغرفة قبل وبعد تعريض النماذج قيد البحث لأشعة كاما باستخدام خلية ^{60}Co ذات معدل طاقة (2.5Mev) وبجرعة اشعاعية (250 Gy) في جهاز نوع (Cobalt 60 Irradiation Gamma Cell 200) صنع شركة (Atomic Energy of Canada) الموجود في منظمة الطاقة الذرية .

النتائج والمناقشة :-

(١) اطياف الامتصاصية والنفاذية :-

يوضح الشكلين (١،٣) تغير اطياف الامتصاصية والنفاذية للمترابك البوليميري مع الطول الموجي كدالة للسمك ، اذ يتضمن زيادة في قيم الامتصاصية ونقصان في النفاذية بزيادة سمك المترابك وهذا يتفق مع التناوب الطردي بين امتصاصية المادة وسمكها بموجب العلاقة الآتية :

$$\alpha = 2.303 A / d \quad \dots \dots \dots (1)$$

حيث α : معامل الامتصاص

A : الامتصاصية

d : سمك المادة

كما يلاحظ من مقارنة الشكلين (١) الى زيادة الامتصاصية بعد التشيع بسبب تكوين المستويات الموضعية داخل فجوة الطاقة . ومن الشكلين (٤) يلاحظ ان النفاذية تقل بزيادة التشيع وتؤدي الى استطارة الضوء وامتصاصه لان التفاعل بين الموجات الكهرومغناطيسية والجزئيات البوليميرية الكبيرة سيزداد بزيادة تشابك سلاسل البوليمير $(^{10})$.

(٢) الانعكاسية :-

تم حساب الانعكاسية استناداً للمعادلة الآتية :

$$R = 1 - T - A \quad \dots \dots \dots (2)$$

حيث R : الانعكاسية

A : الامتصاصية

T : النفاذية

اذ يوضح الشكل (٥) انعكاسية المادة المترابكة كدالة للطول الموجي حيث يلاحظ ان انعكاسية المادة تقل بزيادة السمك والذي يعود الى زيادة الامتصاصية بزيادة السمك . كذلك زيادة الانعكاسية بعد التشيع من مقارنة الشكلين (٥،٦) نتيجة لحصول تشابك لجزئيات البوليمير بعضها مع البعض الاخر من تاثير الاشعاع على السلاسل البوليميرية ، اذ ان تاثير الاشعاع هو كسر الاواصر في السلسلة فإذا ماتحدث هذه الاواصر مع اواصر اخرى ادى ذلك الى تغير التركيب وبالتالي الى حدوث عملية التشابك وزيادة قيم الانعكاسية نتيجة لذلك $(^{11})$.

(٣) معامل الامتصاص البصري $a(\text{cm}^{-1})$:-

تم حساب معامل الامتصاص للمادة المحضرة بدلالة طيف الامتصاصية باستخدام العلاقة (١) ان تاثير السمك على الامتصاص يبدو واضحاً حيث اظهرت النتائج تناقص معامل الامتصاص مع زيادة السمك كما في الشكل (٧) حيث ان العلاقة عكسية بين السمك ومعامل الامتصاص ويعزى ذلك الى زيادة عدد الذرات الممتضصة وبالتالي يزداد معامل الامتصاص للمادة البوليميرية المترابكة وهذا يتفق من التناوب الطردي بين معامل الامتصاص والامتصاصية من العلاقة (١) $(^{12})$.

يوضح الشكل (٨) الزيادة في معامل الامتصاص للمادة المترابكة كدالة لطاقة الفوتون بعد التشيع نتيجة تكوين مستويات موضعية داخل فجوة الطاقة وهذا يشير الى تكسر اوامر الشبكة وتكون الفراغات نتيجة لازاحة الذرات عن مواضعها وهذا يزيد من احتمالية امتصاص الفوتونات ذات الطاقة الواطئة وبالتالي زيادة الامتصاصية عما كانت عليه قبل التشيع $(^{13})$.

(٤) معامل الخمود (K_o) :-

تم حساب معامل الخمود باستخدام المعادلة الآتية :

$$K_o = \alpha \lambda / 4 \pi \quad \dots \dots \dots (3)$$

ويوضح الشكل (٩) تغير معامل الخمود مع الطول الموجي قبل التشيع حيث من الواضح تزايد معامل الخمود بتناقص السمك وبشكل سريع عند قيم الطاقات القريبة من حافة الامتصاص البصري مما يؤكّد حصول انقلابات الكترونية مباشرة عند تلك الطاقات ومن مقارنة الشكلين (٩،١٠) وجد ان تاثير الاشعاع يبدو واضحاً على قيم معامل الخمود عند الطاقة المقاربة لفجوة الطاقة الذي يعود الى ازاحة حافة الامتصاص نتيجة للتغير الحاصل في التركيب البلوري للمادة نتيجة الاشعاع $(^{14,15})$.

(٥) معامل الانكسار (n_o) :-

تم حساب معامل الانكسار استناداً للمعادلة الآتية :-

$$n_0 = \{(1+R/1-R)^2 - (K_0^2 + 1)\}^{1/2} + (1/R)/(1-R) \quad \dots \dots \dots \quad (4)$$

يبين الشكلين (١١، ١٢) تغير معامل الانكسار مع الطول الموجي قبل التشيع و بعده وجود تشابه بين منحنيات معامل الانكسار مع منحنى الانعكاسية ، اذ ان هذا التشابه ناتج من اعتماد قيمة معامل الانكسار على الانعكاسية حيث يقل معامل الانكسار مع زيادة السمك و عموماً فان معامل الانكسار يتزايد مع التشيع بسبب التغير البسيط في قيم ثابت الشبكة في التركيب البلوري بعد التشيع ادى الى تغير في قيم معامل الانكسار ^(١٧).

٦ ثابت العزل الكهربائي المعد (ε) :-

تم حساب ثابت العزل الكهربائي المعد بجزئيه الحقيقي والخيالي للمادة البوليمرية المتراكبة باستخدام العلاقات :-

$$\epsilon_r = n_0^2 - k_0^2 \quad \dots \dots \dots \quad (5)$$

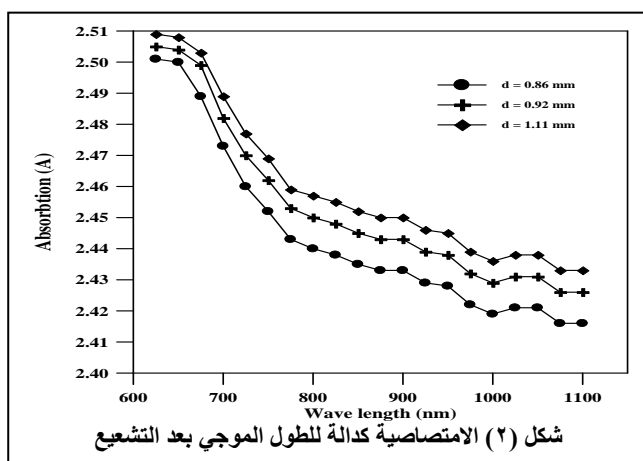
$$\epsilon_i = 2 n_0 k_0 \quad \dots \dots \dots \quad (6)$$

على التوالي .

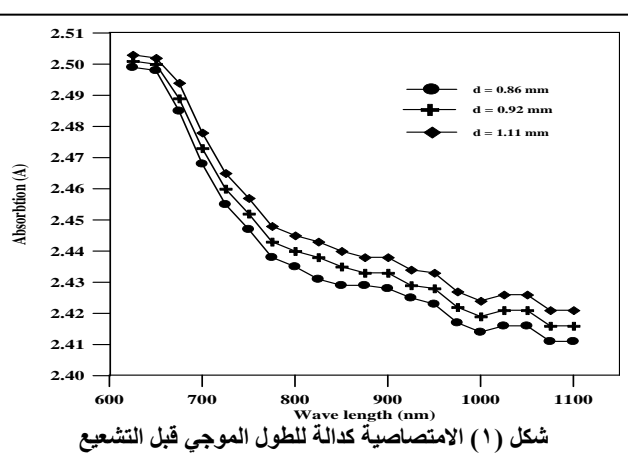
يتبيّن من الاشكال (١٣، ١٥) ان قيم ثابت العزل تقل بزيادة السمك قبل التشيع اما عن سلوك المنحنى فانه يشابه سلوك معامل الانكسار وذلك لاعتماد ε على n وهذا يتحقق مع العلاقة (٥) حيث يكون تأثير معامل الخمود قليلاً مقارنة بتأثير معامل الانكسار . اما قيم ثابت العزل بعد التشيع فتوضّح بالشكلين (١٦، ١٤) حيث تزداد بزيادة السمك غير ان قيمتها اكبر من مثيلاتها قبل التشيع وذلك لزيادة انعكاسية المادة عند الطاقة المقابلة لفجوة الطاقة ^(١٧).

الاستنتاجات :-

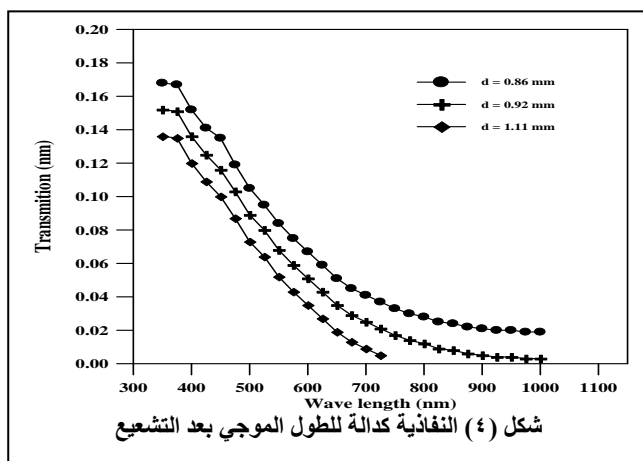
- ان زيادة سمك المتراكب ادى الى زيادة في قيم الامتصاصية ونقصان في النفاذية بسبب زيادة عدد ذرات المادة الممتضصة غير المتأينة . كذلك لوحظ نقصان الانعكاسية بسبب زيادة الامتصاصية ، بالإضافة الى زيادة معامل الامتصاص بتناقص السمك بسبب زيادة عدد الذرات الممتضصة . وكذلك زيادة بقيمة معامل الخمود بتناقص السمك وهذا يعني ان المادة لها قابلية توهين او احمد الاطوال الموجية الساقطة عليه اكبر ، مع تناقص في معامل الانكسار وثابت العزل الكهربائي .
- لوحظ ان التشيع ادى الى زيادة في الامتصاصية ونقصان في النفاذية يشير الى ان تعريض البليورات لأشعة كما يؤدي الى حدوث عيوب فرنكل الذي ينشأ من ازاحة ذرة من احد مواقع الشبكة البلورية واحتلالها موقع غير مخصص اساساً لوجود ذرة (أي توليد ذرة بينية وتكونن ثغرة في الشبكة البلورية) أي ان التشيع ادى الى نقصان في درجة التبلور كذلك زيادة الانعكاسية بعد التشيع ويعود السبب في ذلك الى ان الاشعاع سبب ضرراً في التركيب البلوري للمادة وسبب تغير في طبيعة سطح المادة حيث ان الانعكاسية تحدث عند سطح المادة أي ان الاشعاع اثر على السلسل البوليمرية المتشابكة وولد سلاسل معقدة وبذلك ازدادت الانعكاسية وايضاً زيادة في معامل الامتصاص والانكسار وثابت العزل الكهربائي بعد التشيع .



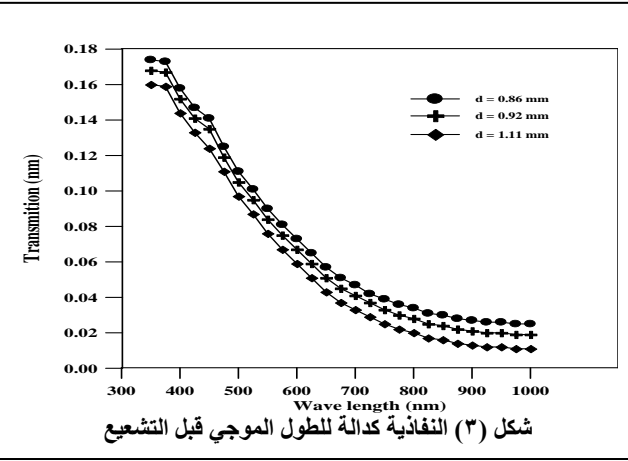
شكل (٢) الامتصاصية دالة للطول الموجي بعد التشيع



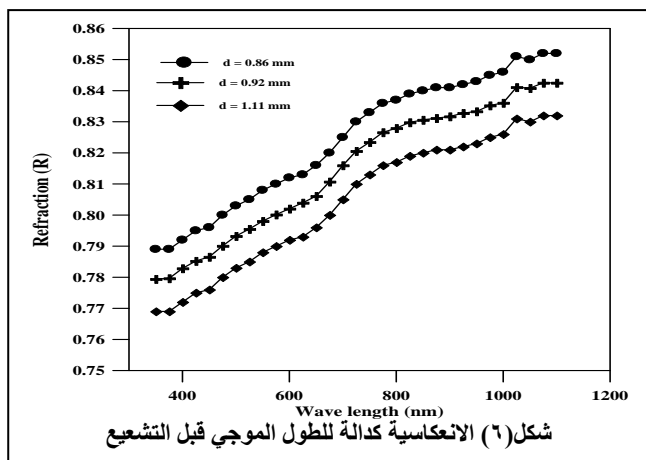
شكل (١) الامتصاصية دالة للطول الموجي قبل التشيع



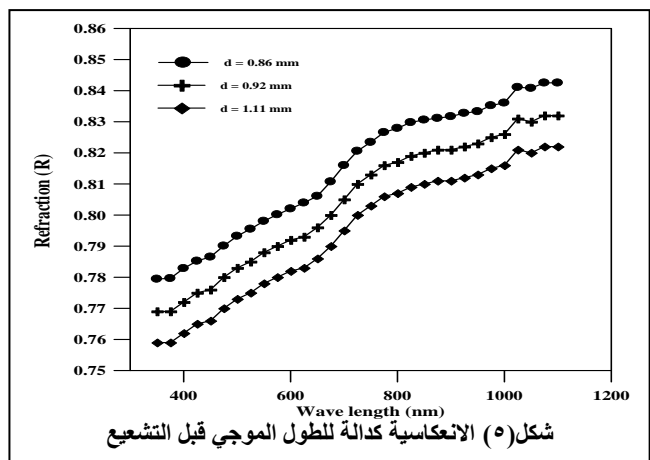
شكل (٤) النفاذية دالة للطول الموجي بعد التشيع



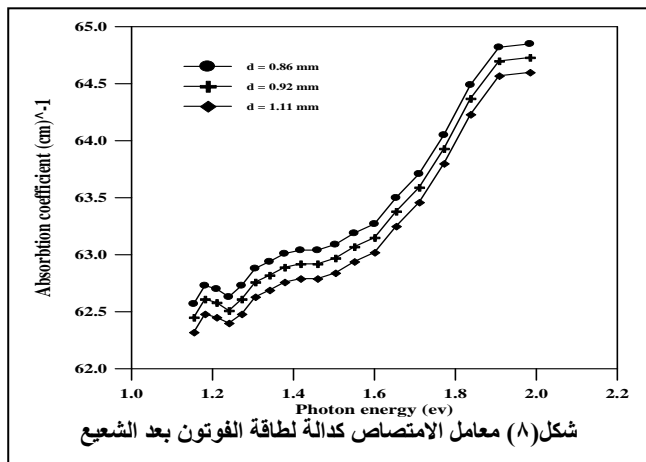
شكل (٣) النفاذية دالة للطول الموجي قبل التشيع



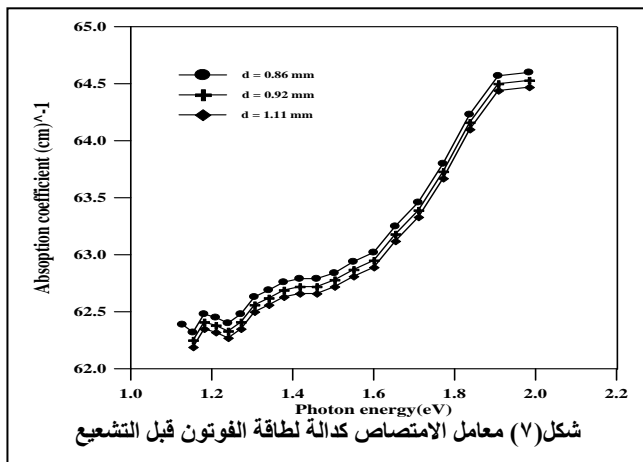
شكل(٦) الانعكاسية دالة للطول الموجي قبل التشعيع



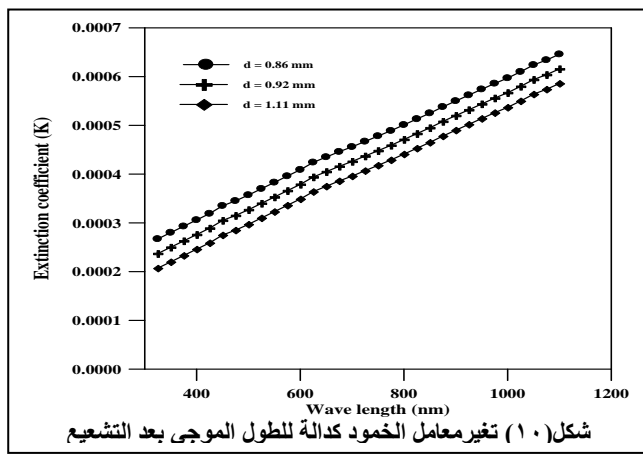
شكل(٥) الانعكاسية دالة للطول الموجي قبل التشعيع



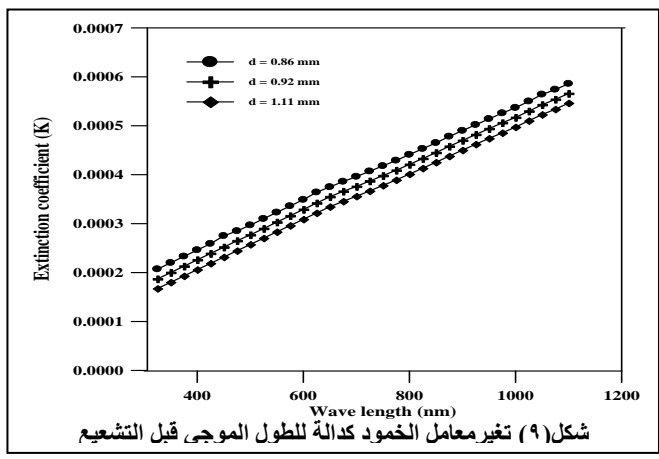
شكل(٨) معامل الامتصاص دالة لطاقة الفوتون بعد الشعاع



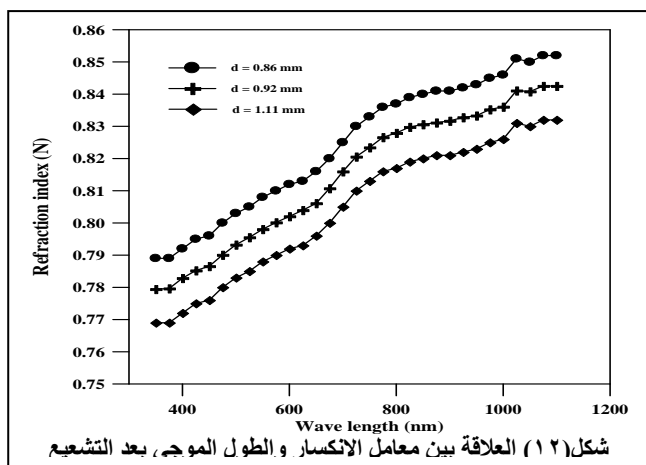
شكل(٧) معامل الامتصاص دالة لطاقة الفوتون قبل التشعيع



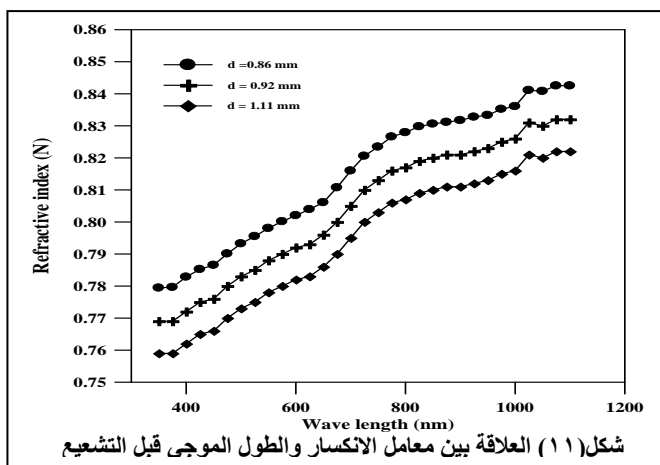
شكل(١٠) تغير معامل الخمود دالة للطول الموجي بعد التشعيع



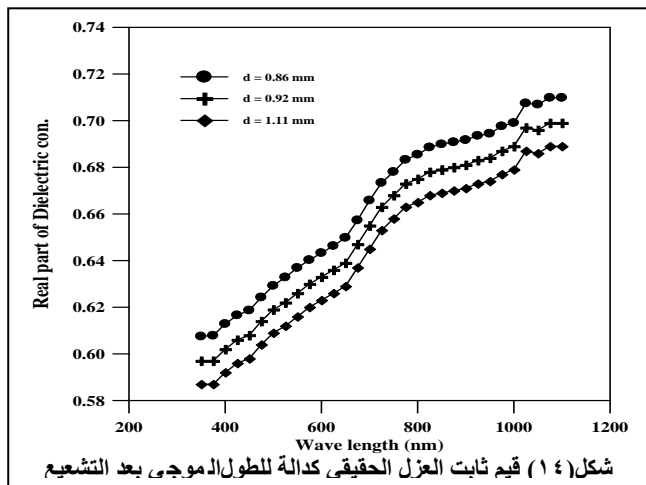
شكل(٩) تغير معامل الخمود دالة للطول الموجي قبل التشعيع



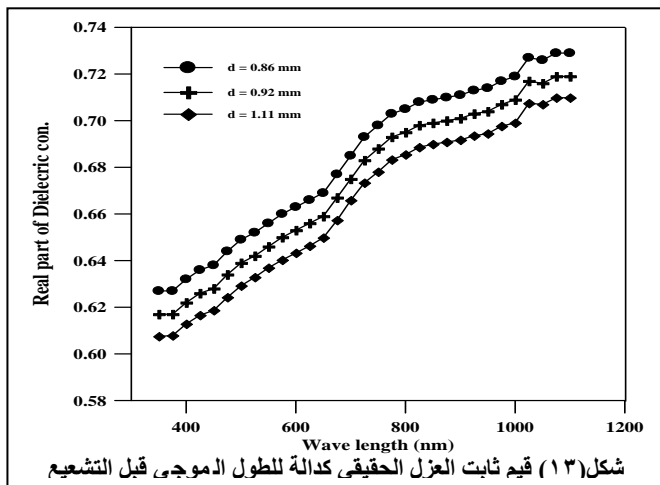
شكل (١٢) العلاقة بين معامل الانكسار والطول الموجي بعد التشعيع



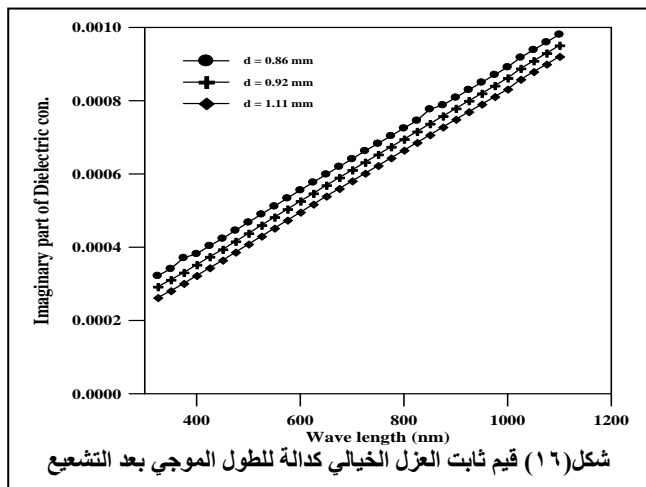
شكل (١١) العلاقة بين معامل الانكسار والطول الموجي قبل التشعيع



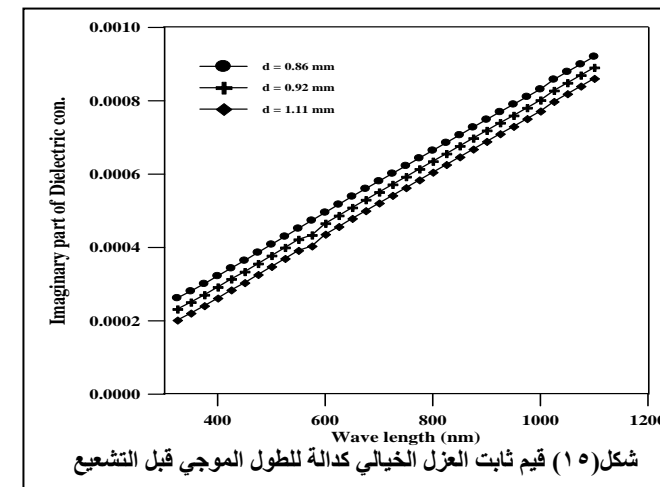
شكل (١٤) قيم ثابت العزل الحقيقي دالة للطول الموجي بعد التشعيع



شكل (١٣) قيم ثابت العزل الحقيقي دالة للطول الموجي قبل التشعيع



شكل (١٦) قيم ثابت العزل الخيالي دالة للطول الموجي بعد التشعيع



شكل (١٥) قيم ثابت العزل الخيالي دالة للطول الموجي قبل التشعيع

المصادر :

- 1- Zahran A.H. , Hegazy E.A. and Ezz Eldin F.M. , " Radiation Phys. Chem." , Vol.26 , No.1, pp(25-32) , (1985) .
- 2- Odo nnell J.H. and Sangster D.V. , "Principle of Radiation chemistry" London , (1985) .
- 3- Elsa Reichmanis and Odo nnell J.H. , "The effect of Radiation on High Technology Polymers" , American Chem. Soc. , washnton , (1989) .
- 4- Odo nnell J.H. "Chem. of Rad. Degradation of polymers , in Radiation Effects in Polymers" , ACHS. , (1991) .
- 5- Babic D. , "Rad. Phys. Chem." ,Vol. 35,No.1-3,pp158, (1990) .
- 6- Abyaneh M.K. , Pasricha R. , "Nanotechnol" , Vol.17, pp.4129 , (2006) .
- 7- Srivastava S. and Basu J.K. , "Phys. Rev.Lett. "Vol.98 , pp.165701 , (2007) .
- 8- Jordan K. J. , Suib S. L. , "Determination of the Degradation Poly (Vinyl Chloride) Decomposition" , Journal of Physical Chemistry,Vol.105 , No.16 , pp.3174-3181, (2001) .
- 9- Deng B.I. , Chen. I.W. , Chiu Y.S. "Polym. Degrade. Stab." , Vol.57 , pp.269 , (2003) .
- 10- Longton N.H. , "Ultrasonically irradiation polymer solutions J." , Vol.1 , No.22 , (1969) .
- 11- Nathan J.W. , Brian A.A. , "Mater. Res. Soc. Symp. Proc." , Vol.138 , pp(5-9) , (2008) .
- 12- Kalandaragh Y.A. , Muradov M.B. , "Opto electron. Adv. Mater." , 2(1) , 42 (2008) .
- 13- Rezaei O.D. , Khodayari A. , "Effect of thermal annealing and gamma irradiation on the optical properties of polymer nanocomposites" , Vol.4 , No.6 , pp.(881-883) , (2010) .
- 14- Haridas M. , Sivastava S. and Basu J.K. , "J. Appl. Phys." , 37 , (1520) , (2008) .
- 15- Srivastava S. , Haridas M. , "Optical properties of polymer nano composites" , Vol.31 , No.3 , (2008) .
- 16- Srivastava S. and Basu J.K. , "J. Nano. Sci. Technol. "Vol.7 , pp.2101 , (2007) .
- 17- Leng J.Y. , Zhinong X. , "Influence of thickness on structure , optical , and electrical properties" , J. Appl. Phys. , Vol.7 , p.2319 , (2010) .